



## 8. SEGMENTAÇÃO

---

- Tarefa não trivial
- Facilitada por condições ambientes controladas
- Sob condições não controladas, facilitada pelo uso de sensores específicos

### 8.1. FUNDAMENTOS

---

- Derivada de ordem 1
    - Expandindo-se a função  $f(x+\Delta x)$  em Série de Taylor sobre  $x$ ;
    - Assumindo-se  $\Delta x=1$
    - Mantendo-se apenas os termos lineares
-



$$\frac{\partial f}{\partial x} = f'(x) = f(x+1) - f(x)$$

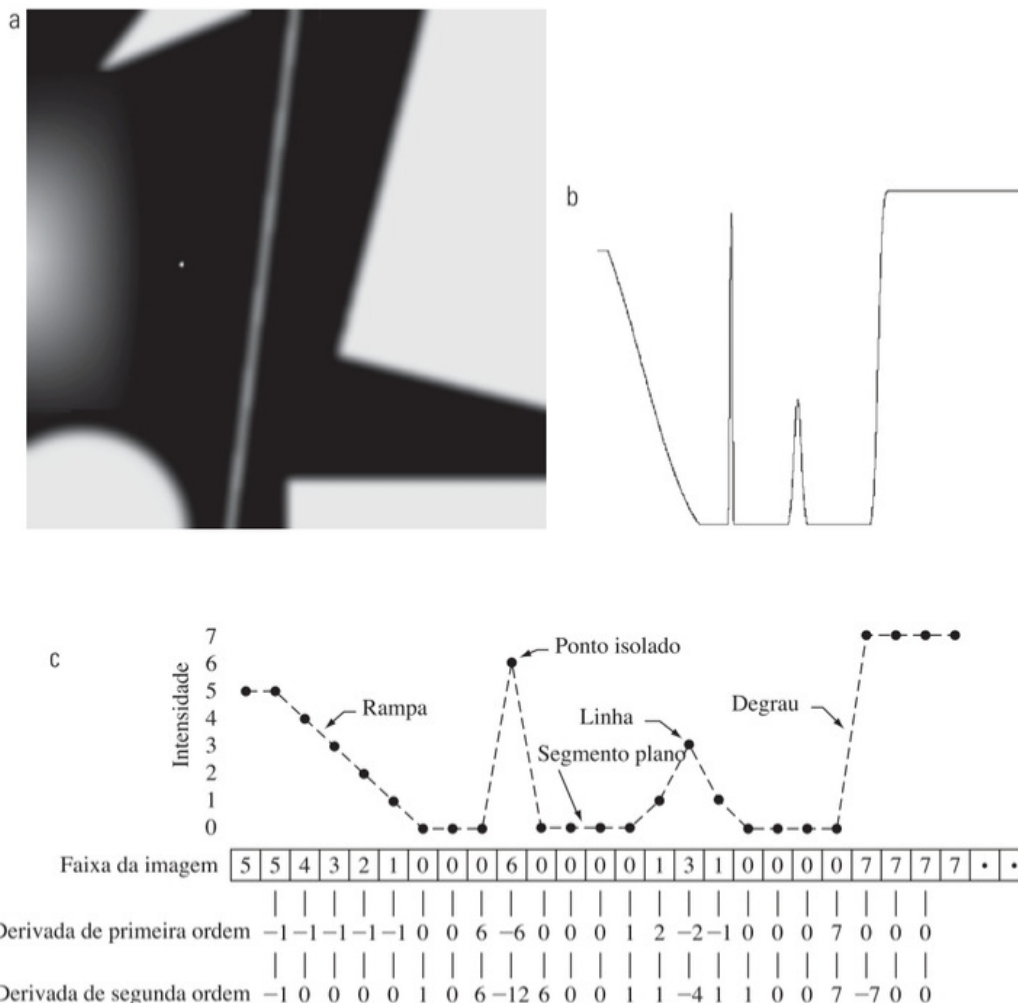
- Derivada de ordem 2

$$\begin{aligned}\frac{\partial^2 f}{\partial x^2} &= \frac{\partial f'(x)}{\partial x} = f'(x+1) - f'(x) \\ &= f(x+2) - f(x+1) - f(x+1) + f(x) \\ &= f(x+2) - 2f(x+1) + f(x)\end{aligned}$$

- Expansão sobre o ponto  $(x+1)$ . Portanto...

$$\frac{\partial^2 f}{\partial x^2} = f''(x) = f(x+1) + f(x-1) - 2f(x)$$

- Mais agressiva que a derivada de ordem 1...
-



**Figura 10.2** (a) Imagem (b) Perfil de intensidade horizontal no centro da imagem, incluindo o ponto de ruído isolado, (c) Perfil simplificado (os pontos estão unidos com traços para facilitar o entendimento). A faixa da imagem corresponde ao perfil de intensidade, e os números nas caixas são os valores de intensidade dos pontos mostrados no perfil. As derivadas foram obtidas utilizando as equações 10.2-1 e 10.2-2.

- Gradiente

$$\nabla f = \text{grad}(f) = \begin{bmatrix} g_x \\ g_y \end{bmatrix} = \begin{bmatrix} \frac{\partial f}{\partial x} \\ \frac{\partial f}{\partial y} \end{bmatrix}$$

em que

$$g_x = \frac{\partial f(x, y)}{\partial x} = f(x+1, y) - f(x, y) \quad ; \quad g_y = \frac{\partial f(x, y)}{\partial y} = f(x, y+1) - f(x, y)$$

- Aponta na direção do máximo crescimento da função
- Magnitude do vetor

$$M(x, y) = \text{mag}(\nabla f) = \sqrt{g_x^2 + g_y^2}$$

ou  $M(x, y) = \text{mag}(\nabla f) \approx |g_x| + |g_y|$

---



- Implementação por convolução

-1
1

-1	1
----	---

- Roberts: bordas diagonais
- Prewitt e Sobel: ênfase em direções específicas

0	1	1
-1	0	1
-1	-1	0

-1	-1	0
-1	0	1
0	1	1

c Prewitt d

0	1	2
-1	0	1
-2	-1	0

-2	-1	0
-1	0	1
0	1	2

Sobel

b		c
	-1 0 0 1	0 -1 1 0
d	Roberts	e

-1	-1	-1
0	0	0
1	1	1

f Prewitt g

-1	-2	-1
0	0	0
-1	0	1

-1	0	1
-2	0	2
1	2	1

Sobel



- Direção do vetor

$$\alpha(x, y) = \operatorname{tg}^{-1}\left(\frac{g_y}{g_x}\right)$$

- Direção da borda é perpendicular à direção do gradiente
- Laplaciano
  - $\nabla^2 f(x, y) = \frac{\partial^2 f}{\partial x^2} + \frac{\partial^2 f}{\partial y^2}$   
 $= f(x+1, y) + f(x-1, y) + f(x, y+1)$   
 $+ f(x, y-1) - 4f(x, y)$
  - Derivadas e Laplaciano implementados por convolução

1	1	1
1	-8	1
1	1	1

Isotrópico  
(invariante à rotação)

-1	-1	-1
2	2	2
-1	-1	-1

horizontal

2	-1	-1
-1	2	-1
-1	-1	2

+45°

-1	2	-1
-1	2	-1
-1	2	-1

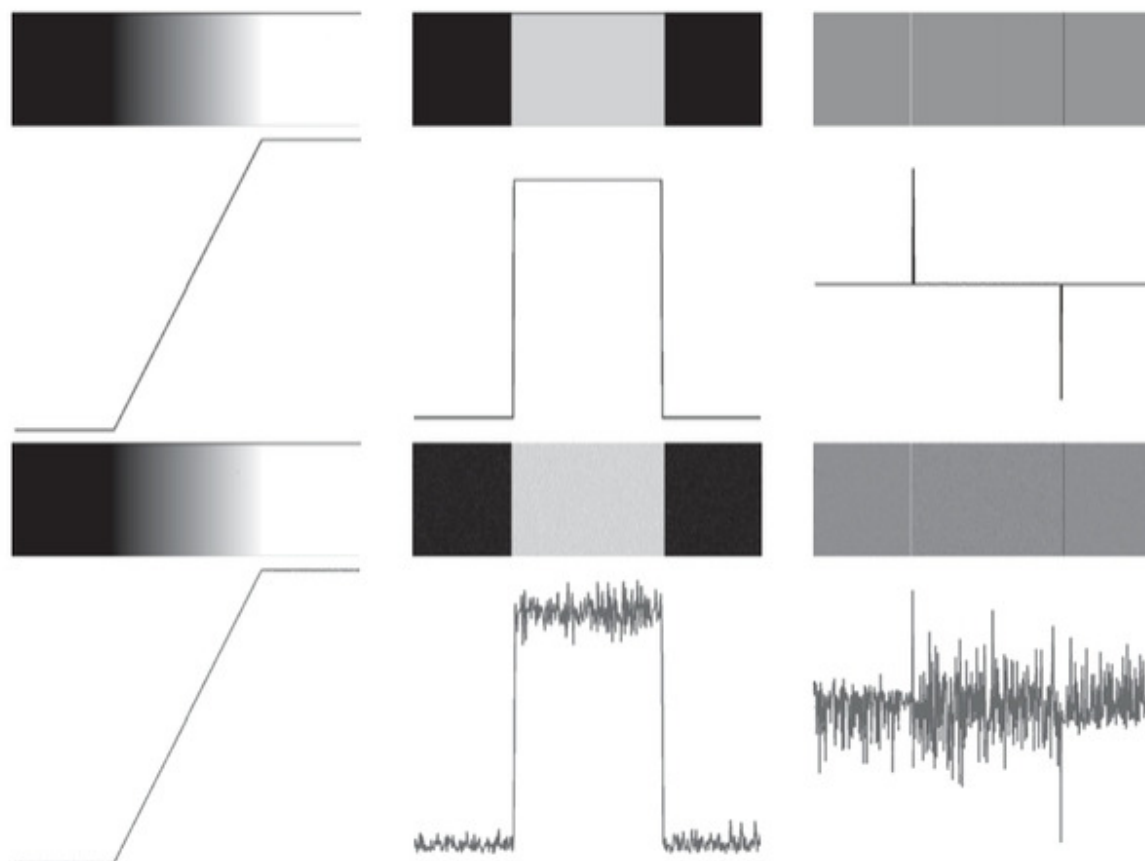
Vertical

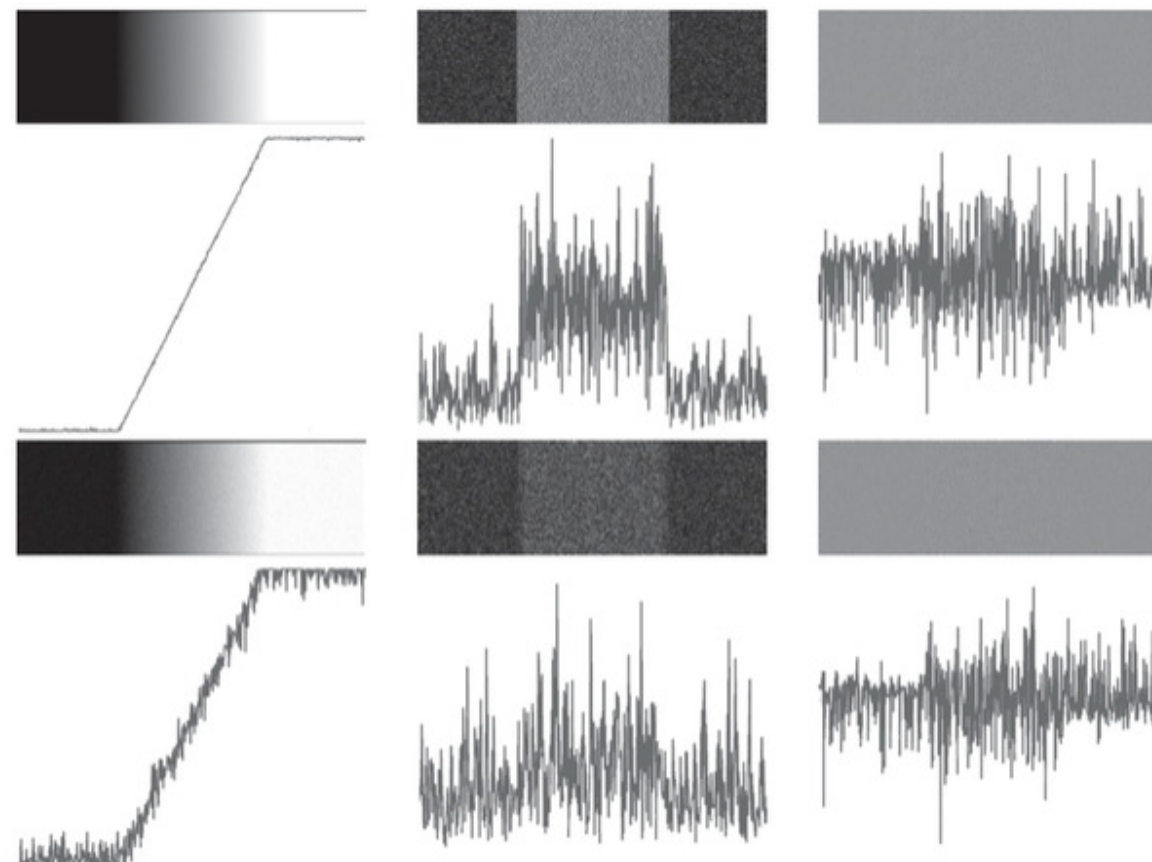
-1	-1	2
-1	2	-1
2	-1	-1

-45°

---

- Comportamento frente a ruído



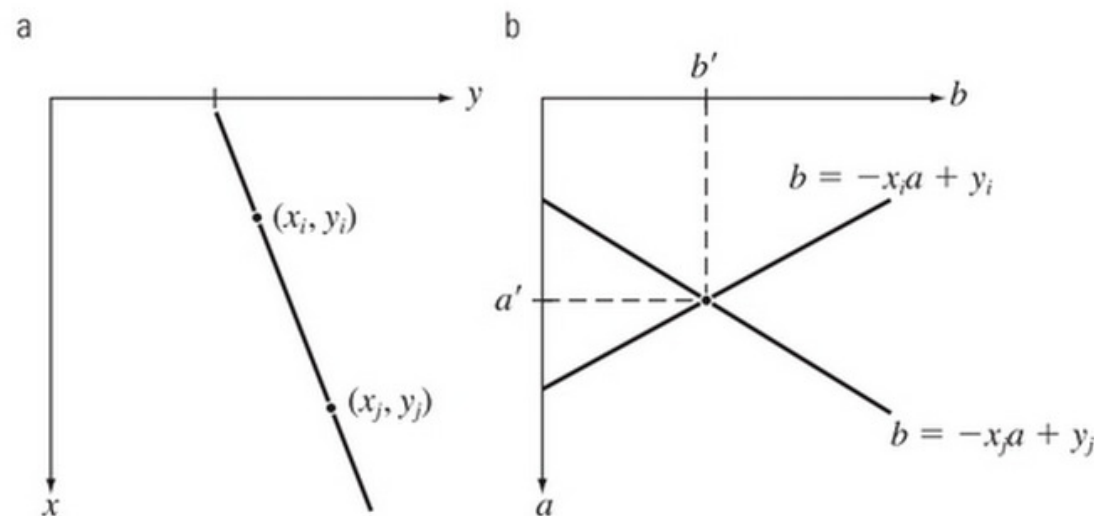


- Transformada de Hough

- $y_i = ax_i + b \Rightarrow b = -ax_i + y_i$  (plano  $ab$ ; espaço de parâmetros)

- $y_i = ax_i + b \Rightarrow$  muitas/infinitas retas passam por  $(x_i, y_i)$

- $b = -ax_i + y_i \Rightarrow$  uma única reta passa por  $(a', b')$



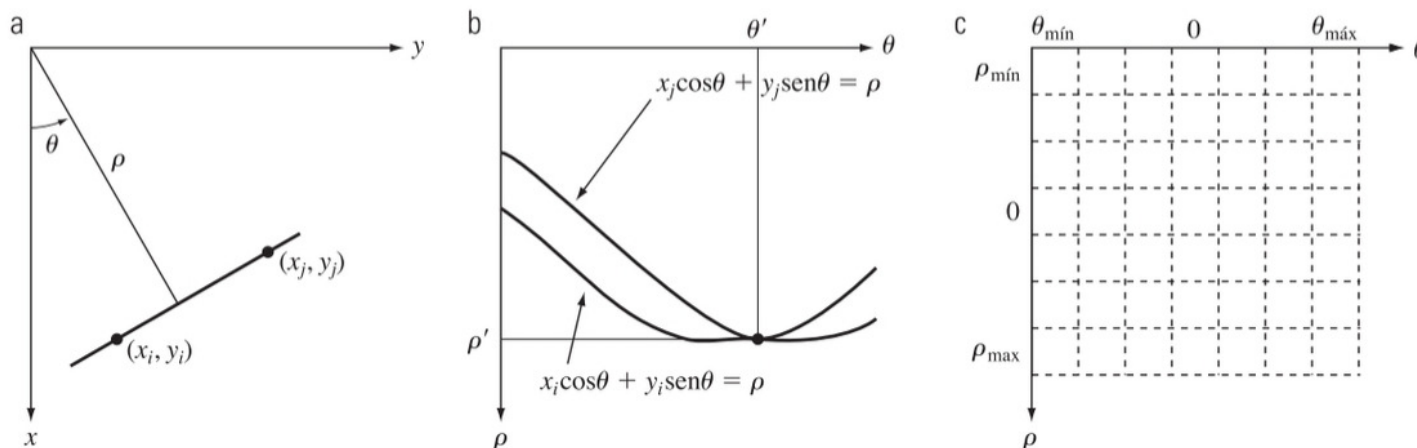
**Figura 10.31** (a) Plano  $xy$ . (b) Espaço de parâmetros.

---

- Problema  $\Rightarrow a \rightarrow \infty$  quando a inclinação da reta é vertical

- Solução: equação normal da reta (coordenadas polares)

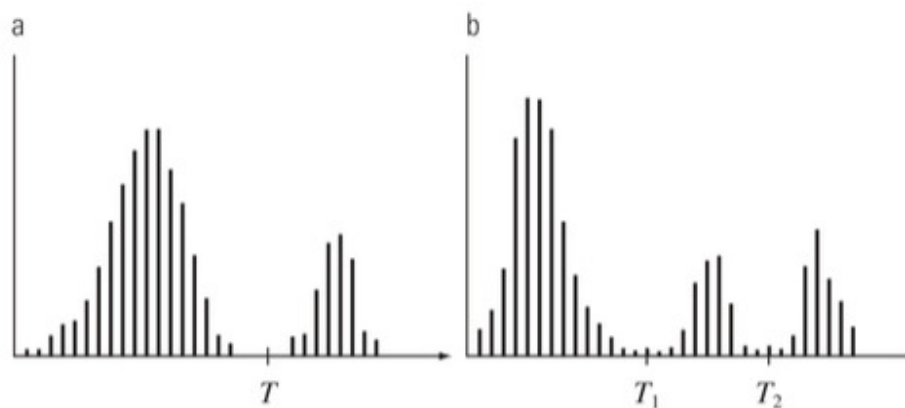
$$x\cos\theta + y\sin\theta = \rho$$



**Figura 10.32** (a)  $(\rho, \theta)$  Parametrização da reta no plano  $xy$ . (b) Curvas senoidais no plano  $\rho\theta$ ; o ponto de interseção  $(\rho', \theta')$  corresponde à reta que passa pelos pontos  $(x_i, y_i)$  e  $(x_j, y_j)$  no plano  $xy$ . (c) Divisão do plano  $\rho\theta$  em células acumuladoras.

## 8.2. LIMIARIZAÇÃO

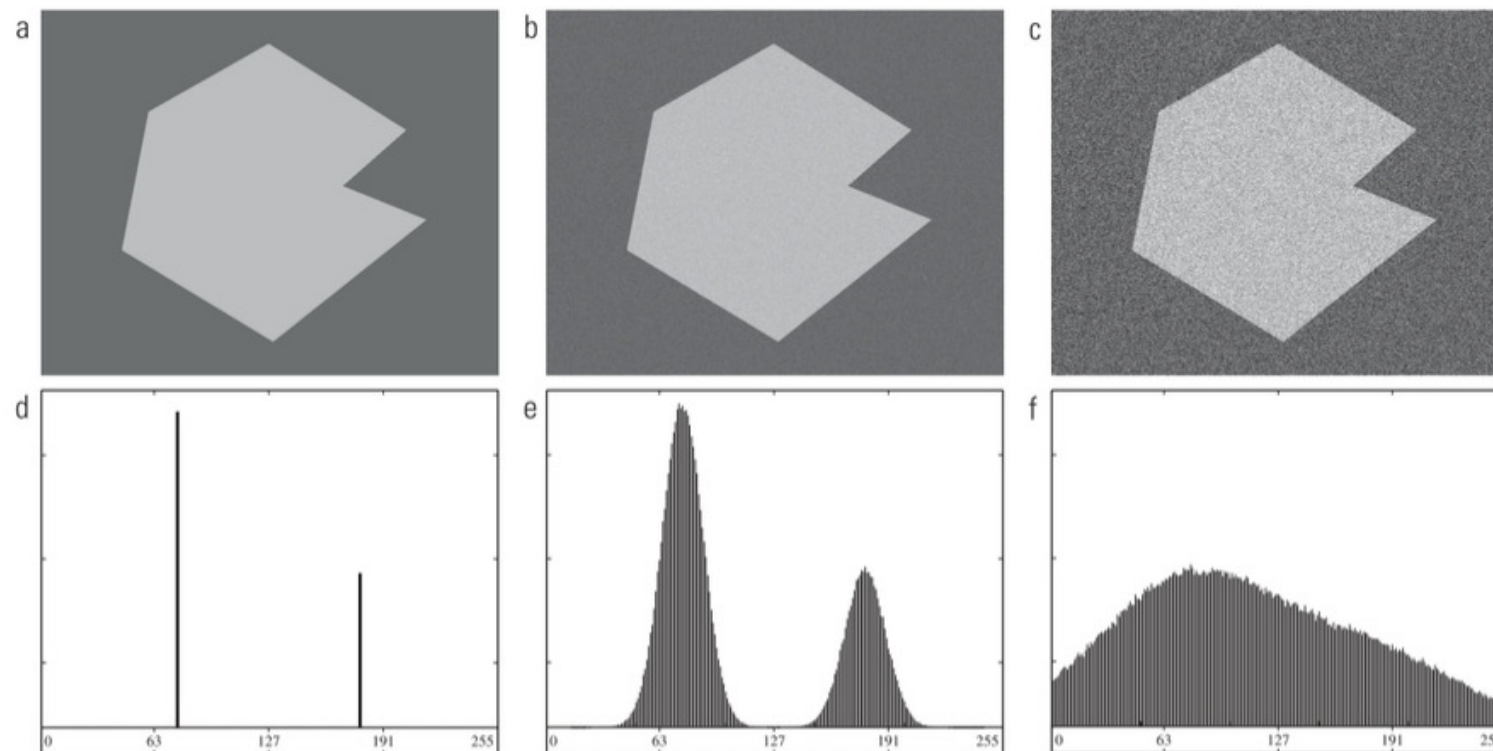
- Classificações
  - Limiarização global
  - Limiarização variável, local, regional, dinâmica, adaptativa, etc.



**Figura 10.35** Histogramas de intensidade que podem ser divididos  
(a) por um limiar único e (b) por limiares duplos.

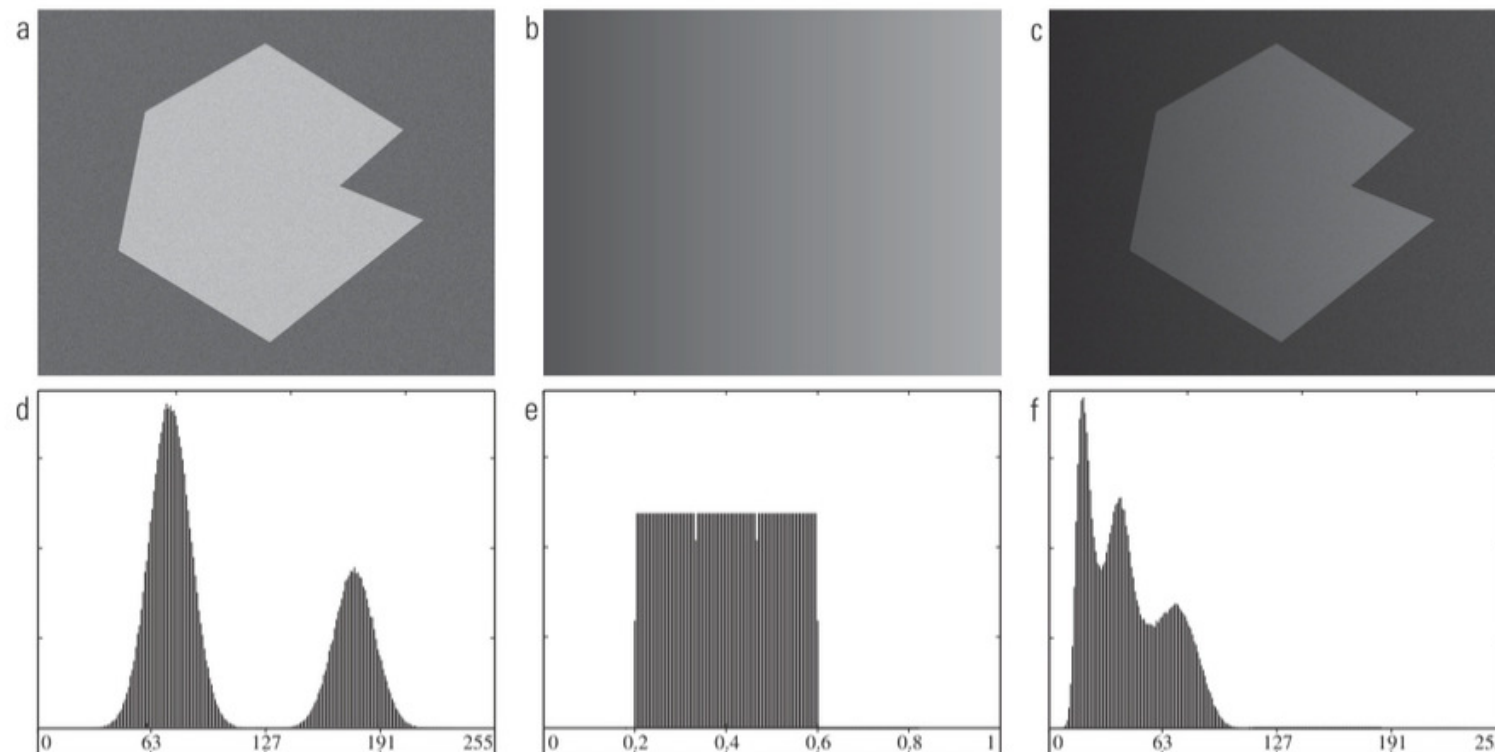
(ex: objetos claros sobre fundo escuro)

- Influência do ruído



**Figura 10.36** (a) Imagem de 8 bits livre de ruído. (b) Imagem com ruído gaussiano aditivo de média 0 e desvio padrão de 10 níveis de intensidade. (c) Imagem com ruído gaussiano aditivo de média 0 e desvio padrão de 50 níveis de intensidade. (d) a (f) Histogramas correspondentes.

- Influência da iluminação



**Figura 10.37** (a) Imagem ruidosa (b) Rampa de intensidade no intervalo [0,2, 0,6]. (c) Produto de (a) e (b). (d) a (f) Histogramas correspondentes.

---

- Definição Automática do Limiar
  - Limiarização Global Simples
    1. Selecionar uma estimativa do limiar global  $T$  (por exemplo, valor da intensidade média da imagem)
    2. Segmentar a imagem usando  $T$  e formando dois grupos de pixels,  $G_1$  e  $G_2$
    3. Calcular os valores  $m_1$  e  $m_2$  das intensidades média dos grupos  $G_1$  e  $G_2$
    4. Calcular um novo limiar  $T = \frac{1}{2}(m_1 + m_2)$
    5. Repetir as etapas 2 a 4 até que a variação de  $T$  em iterações sucessivas seja menor que um valor predefinido  $\Delta T$

- Limiarização Global Ótima pelo Método de Otsu
  - Maximiza a variância entre as classes
  - Trabalha diretamente sobre o histograma da imagem (baixo custo computacional)
  - Níveis de cinza de uma imagem  $M \times N \Rightarrow [0, 1, 2, \dots, L-1]$
  - Número de pixels com intensidade  $i \Rightarrow n_i$
  - $MN = n_0 + n_1 + n_2 + \dots + n_{L-1}$
  - O histograma normalizado tem componentes  $p_i = n_i / NM$  e  $\sum_{i=0}^{L-1} p_i = 1$
  - Limiar  $T(k) = k$  separa a imagem em duas classes  $C_1$  e  $C_2$

- A probabilidade de um pixel ser atribuído a  $C_1$ , ou seja, a probabilidade de

$$\text{ocorrência da classe } C_1 \text{ é } P_1(k) = \sum_{i=0}^k p_i$$

- A intensidade média dos pixels da classe  $C_1$  pode ser definido como

$$m_1(k) = \sum_{i=0}^k i P(i|C_1)$$

- Da regra de Bayes

$$P(A|B) = P(B|A)P(A)/P(B),$$

segue que

$$m_1(k) = \sum_{i=0}^k i P(C_1|i)P(i)/P(C_1).$$

---

Como  $0 \leq i \leq k$ ,  $P(C_1|i)=1$ . Note-se também que  $P(i)=p_i$  e  $P(C_1)=P_1(k)$ , portanto

$$m_1(k) = \frac{1}{P_1(k)} \sum_{i=0}^k ip_i$$

- Figura de mérito para a qualidade do limiar  $k$ :

$$\eta(k) = \frac{\sigma_B^2(k)}{\sigma_G^2}$$

- $\sigma_G^2 = \sum_{i=0}^{L-1} (i - m_G)^2 p_i \Rightarrow$  variância global

em que  $m_G = \sum_{i=0}^{L-1} ip_i$

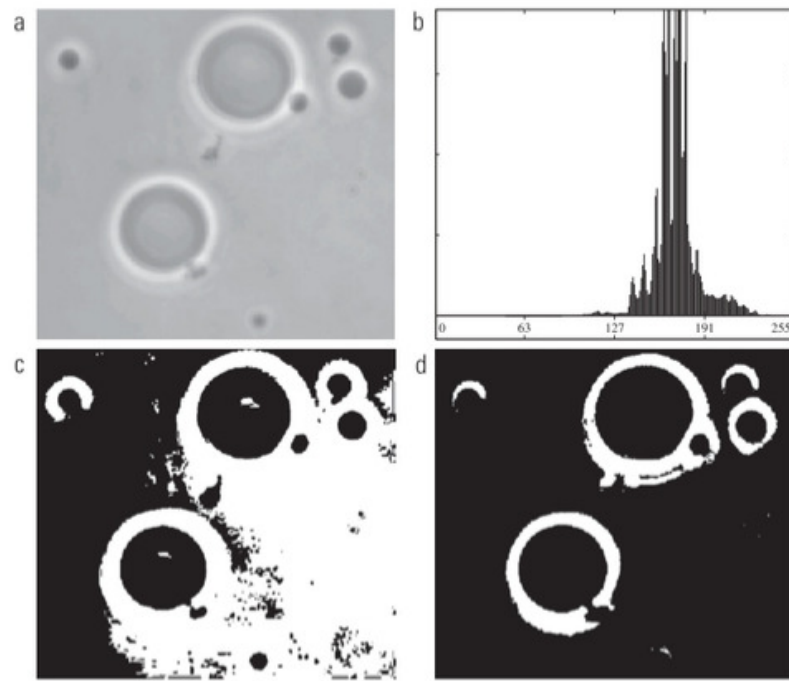
- $\sigma_B^2(k) = (m_1 - m_G)^2 P_1(k) + (m_2 - m_G)^2 P_2(k) \Rightarrow$  variância entre classes
-

- É possível mostrar que  $\sigma_B^2(k) = P_1(k)P_2(k)(m_1 - m_2)^2$
- Quanto mais distantes as médias, maior  $\sigma_B^2(k)$   $\Rightarrow$  variância entre as classes é uma medida de separabilidade
- $\sigma_B^2(k)$  pode ser escrito como  $\sigma_B^2(k) = \frac{[m_G P_1(k) - m(k)]^2}{P_1(k)[1 - P_1(k)]}$ 

em que  $m(k) = \sum_{i=0}^k ip_i$  ,  $m_G = \sum_{i=0}^{L-1} ip_i$  e  $P_1(k) = \sum_{i=0}^k p_i$

  - Mais eficiente computacionalmente
- Como  $\sigma_G^2$  é constante, maximizar  $\eta(k)$  equivale a maximizar  $\sigma_B^2(k)$

- FINALMENTE: determinar  $\sigma_B^2(k)$  para todos os valores de  $k$  entre 0 e  $L-1$  e escolher o  $k$  que maximiza  $\sigma_B^2(k)$ . Obs: pode haver mais de um  $k$  que maximiza  $\sigma_B^2(k)$ .



**Figura 10.39** (a) Imagem original. (b) Histograma (os picos elevados foram cortados para realçar os detalhes nos valores mais baixos). (c) Resultado da segmentação utilizando o algoritmo global básico da Seção 10.3.2. (d) Resultado obtido pelo método de Otsu. (Imagen original: cortesia do Professor Daniel A. Hammer, da Universidade da Pensilvânia.)